

# Niño 3 海域の海面水温変動と 東京における豪雨発生

RELATIONSHIPS BETWEEN NIÑO 3 SEA SURFACE TEMPERATURE AND  
STATISTICAL CHARACTERISTICS OF HEAVY RAINFALLS IN TOKYO

東 博紀<sup>1</sup>・飯塚 聰<sup>2</sup>・松浦 知徳<sup>2</sup>  
Hironori HIGASHI, Satoshi IIZUKA and Tomonori MATSUURA

<sup>1</sup>正会員 博士(工) 独立行政法人 防災科学技術研究所 (〒305-0006 茨城県つくば市天王台3-1)

<sup>2</sup>非会員 博士(理) 独立行政法人 防災科学技術研究所 (〒305-0006 茨城県つくば市天王台3-1)

This paper describes relationships between Niño 3 sea water temperature (SST) and statistical characteristics of daily rainfalls in Tokyo. Daily rainfall series for 1961-2002 is separated the series in the years with positive SST-anomalies from the one in the years with negative SST-anomalies. The frequency analysis based on partial duration series is carried out individually. The quantiles in the years with negative SST-anomalies are 1.68-2.35 times as large as the ones in the years with the positive SST-anomalies, indicating that the heavy rainfall events occur frequently in the years with negative SST-anomalies. Despite the condition of no artificial factor in the climate changes such as a global warming, the numerical simulation results using the ocean-atmosphere coupled general circulation model also show that the daily rainfall series in Tokyo is unstationary.

**Key Words :** Niño 3 SST, daily rainfalls, hydrologic frequency analysis, CGCM

## 1. 研究目的

近年、地球温暖化やエルニーニョ/ラニーニャ現象などの気候変動による世界各地の異常気象およびそれらが引き起こす洪水・渇水災害が問題となっている。気候変動のメカニズムを解明するとともに、これらの将来予測を的確に行うことは効果的な水災害の対策を行ううえで必要不可欠である。

エルニーニョはガラパゴス海域からペルー沖にかけて海面水温が2~5年に一度大規模に上昇する現象であり、その反対の水温が下がる現象はラニーニャと呼ばれている。エルニーニョ/ラニーニャ現象は、観測が進むにつれて当該地域だけの局地的なものではなく、太平洋全域にわたり大規模な気候変動現象として認識されるようになった。現在ではテレコネクションにより地球規模での気候変動・異常気象を誘発するといわれており、世界各地で発生している豪雨や旱魃、高温・低温との関連が指摘されている<sup>1)</sup>。

エルニーニョ/ラニーニャ現象による気象への影響はこれまでに多くの地域を対象に議論されている。日本についてもそれに関する研究が多数行われており、エルニーニョ現象が生じているときは暖冬・冷夏になりやすい、梅雨明けが平年より遅れる、台風の発生個数が減少するなどの傾向が認められている<sup>2)</sup>。しかし降雨については、月や季節、年単位など比較的中・長期間

の雨量とエルニーニョ/ラニーニャ現象の関係については議論されている<sup>3),4)</sup>ものの、洪水災害を引き起こす台風や集中豪雨などの短期間雨量との関係についてはほとんど検討されていない。

本研究では、気候変動が水文素過程に及ぼす影響を評価するための一研究として、エルニーニョ/ラニーニャ現象と東京における降雨の関係について明らかにすることを目的とする。エルニーニョ/ラニーニャ現象の指標には一般によく用いられている Niño 3 海域( $4^{\circ}\text{N} \sim 4^{\circ}\text{S}$ ,  $150^{\circ}\text{W} \sim 90^{\circ}\text{W}$ )の海面水温(SST)を採用し、東京で豪雨が発生しやすい5~10月の SST が気象庁による基準値(1961~1990年の SST 平均値)より高い年を正偏差年、低い年を負偏差年とした。1961~2002年の東京管区気象台における地上雨量観測データを統計資料とし、SST 正偏差年と負偏差年に分けて降雨特性を調べた。部分期間系列(PDS, Partial Duration Series)による頻度解析手法を用いて確率降雨量を求めたところ、SST 負偏差年の確率降雨量は正偏差年より大きいことが明らかになった。観測値には地球温暖化など人為的因素による影響も含まれていることが十分考えられるため、Iizuka et al.<sup>5)</sup>によって開発された高解像度大気海洋結合モデル(CGCM)を用いて他の気候変動が生じない条件で数値シミュレーションを行い、人為的な影響がない自然状態においても Niño 3 海域の SST 変動によって確率降雨量が変化するかを調べた。



表-1 分布母数と確率降雨量

PDS		Data	$x_0$ (year)	$\lambda$ (mm/day)	$k$	$a$	SLSC	Quantile (mm/day)		
								100-year	200-year	500-year
Observed	Whole	42	69	2.0	-0.238	28.4	0.033	371	447	568
	Negative SST anomaly	21	69	1.7	-0.371	26.8	0.033	480	622	877
	Positive SST anomaly	21	69	2.3	-0.094	30.3	0.018	285	321	373
Calculated	Whole	48	80	2.0	-0.176	31.3	0.032	355	413	503
	Negative SST anomaly	27	80	2.5	-0.244	27.4	0.021	401	480	608
	Positive SST anomaly	21	80	1.4	-0.015	43.6	0.041	305	338	381

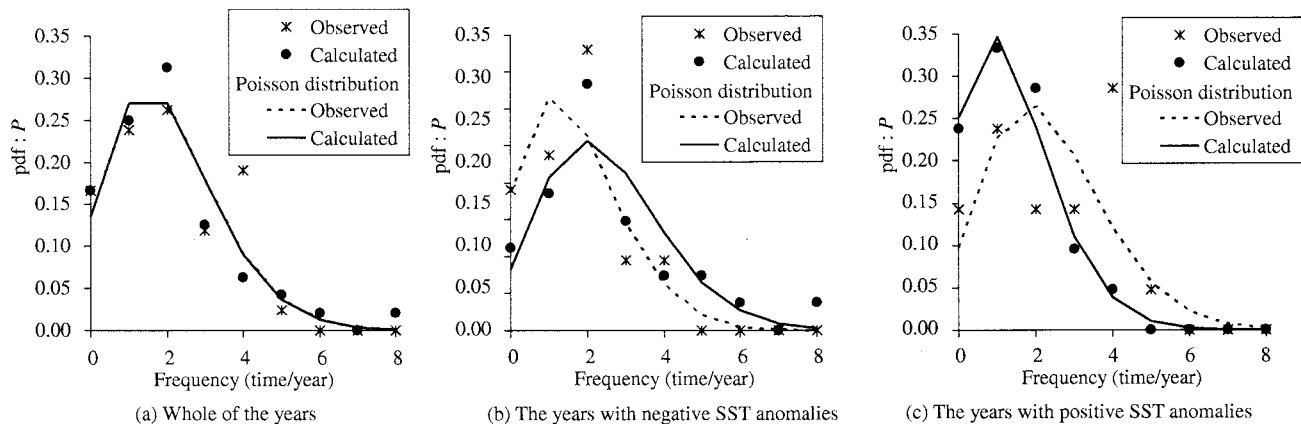


図-1 閾値  $x_0$  を超える降雨の年生起回数の確率関数

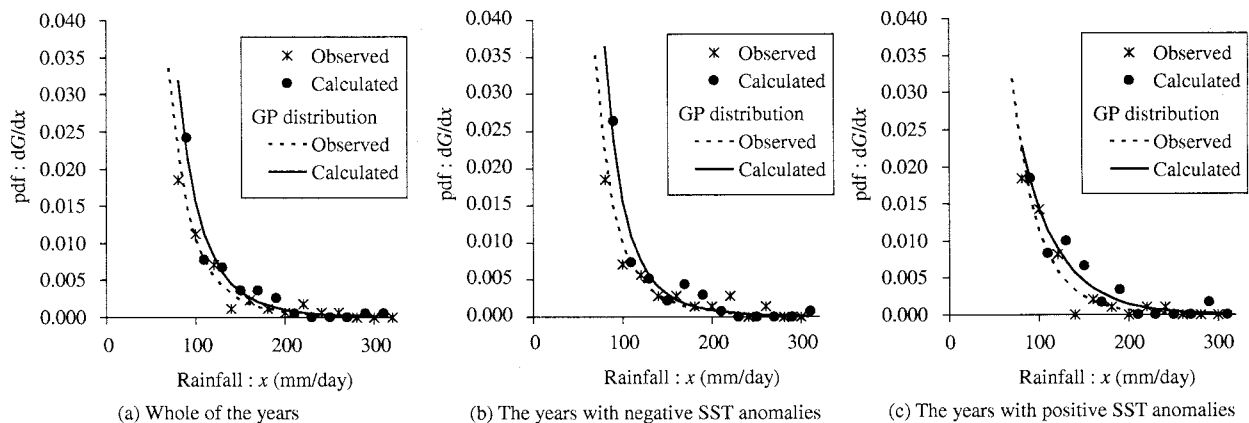


図-2 閾値  $x_0$  を超える降雨の大きさの確率密度関数

た。本研究では、TAO/TRITON ArrayによるSST観測値<sup>2)</sup>(図-3)を用いて各年の5~10月のSST偏差の平均値を算出し、それが正の年を正偏差年、負の年を負偏差年と呼称する。また、SST偏差の大きさと豪雨頻度の関連についても検討するため、正偏差年系列、負偏差年系列をSST偏差の大きさによってさらにそれぞれ2つに分け、SST偏差が-0.5Kより小さい年の資料をseries 1, -0.5~0.0Kをseries 2, 0.0~0.5Kをseries 3, 0.5Kより大きい年の資料をseries 4とする。

図-4にSST偏差と69mm/day超過降雨の年生起回数の関係を示す。69mm/day超過降雨が年に4回以上生起するときのSST偏差は負のときより正のときの方が多いになっている。表-2に各系列の資料年数、69mm/day超過降雨の平均年生起回数を示す。表-2を見ると、69mm/day超過降雨の年生起回数はSSTが高くなるにつれて多くなる傾向にあり、とくにseries 2と3の間で急激に増加していることが分かる。69mm/day超過降雨は負偏差年よりも正偏差年に発生しやすいといえる。





GEV分布(6)式を用いて100, 200, 500年確率降雨量を求めた結果を表-1に併示する。観測値と同様にSST負偏差年の確率降雨量は正偏差年より大きいことが分かる。CGCMによる数値シミュレーションの結果ではあるが、人為的要因による気候変動が生じない条件においてSST負偏差年と正偏差年の確率降雨量に差が見られることは降雨が自然状態においても経年に変動する非定常現象であることを示唆している。確率過程の非定常性についての定量的な検討は今後の課題である。

## 5. 結論

本研究では、気候変動が水文過程に及ぼす影響を明らかにするための基礎研究として、Niño 3海域のSSTの変動と東京における豪雨発生頻度の関係を調べた。また、地球温暖化など人為的要因による気候変動が生じない条件でCGCMによる数値シミュレーションを行い、自然状態においてもNiño 3海域のSST変動によって確率降雨量が変化するかを検討した。得られた結論をまとめると次のとおりである。

- (a) 東京における69mm/day超過降雨の平均年発生回数はSST正偏差年では2.3、負偏差年では1.7であり、69mm/day超過降雨は比較的正偏差年に発生しやすい。
- (b) SST偏差の絶対値が大きいエルニーニョおよびラニーニャ現象が生じているときは、比較的雨量の多い降雨は発生しにくい。
- (c) 69mm/day超過降雨の平均降雨量はSST負偏差年では112mm/day、正偏差年では102mm/dayであり、1降雨あたりの雨量は負偏差年の方が多い。
- (d) SST正偏差年に対する負偏差年の100, 200, 500年確率の東京における日雨量はそれぞれ1.68, 1.93, 2.35倍である。関東地方ではSST正偏差年より負偏差年に豪雨が発生しやすい。
- (e) CGCMの数値シミュレーションでは、人為的影響の有無に関わりなく、東京の豪雨発生頻度はNiño 3海域におけるSSTの影響を受けて経年に変動する。

SST負偏差年と正偏差年の豪雨頻度に差が見られる主な理由の一つに、負偏差年と正偏差年で台風の発生個数・位置および移動経路が異なることが考えられる<sup>17),18),19),20)</sup>。今後は現象の物理性を考慮した確率過程的解析を行っていく予定である。

**謝辞：** 本研究を遂行するにあたり、CGCMの解析およびデータ整理には防災科学技術研究所 藤田貢崇博士に多大なる御協力をいただきました。ここに記して深く感謝の意を表します。

## 参考文献

- 1) Ropelewski, C.F. and Halpert, M.S.: Global and regional scale precipitation patterns associated with the El Niño/Southern Oscillation, *Mon. Wea. Rev.*, Vol. 115, pp. 1606-1626, 1987.
- 2) 気象庁:エルニーニョ・ラニーニャ現象の情報、気象庁ホームページ <http://www.data.kishou.go.jp/climate/elnino/index.html>
- 3) 河村 明, 江口 総一郎, 神野 健二: 南方振動と福岡市月降水量の相關関係について、土木学会論文集, No. 691/II-57, pp. 153-158, 2001.
- 4) 仲江川 敏之: 日本の降水量とNiño 3海面水温変動の関連性についての基礎的検討、水工学論文集, Vol. 48, pp. 85-90, 2004.
- 5) Iizuka, S., Orito, K., Matsuura, T. and Chiba, M.: Influence of Cumulus Convection Schemes on the ENSO-like Phenomena Simulated in a CGCM, *J. Meteor. Soc. Japan*, Vol. 81, No. 4, pp.805-827, 2003.
- 6) 星 清:洪水ピークの確率評価法について、開発土木研究所月報, No. 539, pp. 34-47, 1998.
- 7) Cunnane, C.: A particular comparison of annual maxima and partial duration series methods of flood frequency prediction, *Journal of Hydrology*, Vol. 18, pp. 257-271, 1973.
- 8) 高棹 琢馬, 宝 騒, 清水 章: 琵琶湖流域水文データの基礎的分析、京都大学防災研究所年報, Vol. 29 B-2, pp.157-171, 1986.
- 9) 宝 騒: 水文頻度解析の進歩と将来展望、水文・水資源学会誌, Vol. 11, No. 7, pp. 740-756, 1998.
- 10) 竹内 邦良, 星 清, 江藤, 剛治, 寺川 陽, 宝 騒:水文リスク解析、水文・水資源ハンドブック、第7章、水文・水資源学会(編集), 朝倉書店, pp. 228-255, 1997.
- 11) JMA: Appendix to Progress Report on Numerical Weather Prediction, JMA, pp. 1-128, 1993.
- 12) Webb, D.J., Coward, A.C., de Cuevas, B.A. and Gwilliam, C.S.: A multi-purpose ocean general circulation model using message passing, *J. Atmo. Oceans. Tech.*, Vol. 14, pp. 175-183, 1997.
- 13) Sellers, P.J., Mintz, Y., Sud, Y.C. and Dalcher, A.: A simple biosphere model(SiB) for use within general circulation models, *J. Atmos. Sci.*, Vol. 43, pp. 505-531.
- 14) Sato, N., Sellers, P.J., Randall, D.A., Schneider, E.K., Shukla, J., Kinter, J.L., Hou, Y-T. and Albertazzi, E.: Effects of implementing the simple biosphere model in a general circulation model, *J. Atmos. Sci.*, Vol. 46, pp. 2757-2782, 1989.
- 15) Arakawa, A. and Schubert, W.H.: Interaction of a cumulus cloud ensemble with the large-scale environment. Part I. *J. Atmos. Sci.*, Vol. 31, pp.674-701.
- 16) 防災科学技術研究所: 全球水循環モデルにおける災害予測に関する研究、防災科学技術研究所研究成果報告書, pp. 1-377, 2001.
- 17) Wu, G. and Lau, N.C.: A GCM simulation of the relationship between tropical-storm formation and ENSO, *Mon. Wea. Rev.*, Vol 120, pp. 958-977, 1992.
- 18) Matsuura, T., Yumoto, M., Iizuka, S. and Kawamura, R.: Typhoon and ENSO simulation using a high-resolution coupled GCM, *Geophys. Res. Letters* Vol. 26, pp. 1755-1758, 1999.
- 19) Landre, M.A.: An exploratory analysis of the relationship between tropical storm formation in the North Pacific and ENSO, *Mon. Wea. Rev.*, Vol. 121, pp. 636-651.
- 20) Yumoto, M. and Matsuura, T.: Interdecadal variability of tropical cyclone activity in the western North Pacific, *J. Meteor. Soc. Japan*, Vol. 81, pp. 1069-1086, 2003.

(2004.9.30 受付)